

03;12
©1994 г.

МАГНИТНЫЕ ЖИДКОСТИ ДЛЯ ТЕПЛООБМЕННЫХ УСТРОЙСТВ

A.O.Кузубов, О.И.Иванова, Е.И.Иванников

Институт общей физики РАН, Тарусский филиал,
24910, Таруса, Россия

(Поступило в Редакцию 8 июня 1993 г.)

Рассмотрим магнитные жидкости, имеющие в качестве дисперсной фазы смешанные Me-Zn ферриты. Измерены температурные зависимости намагниченности жидкостей, вычислены их пиromагнитные коэффициенты. Проведено сравнение с традиционной магнетитовой магнитной жидкостью. Показано более эффективное использование рассмотренных жидкостей в качестве рабочей среды теплообменных устройств.

Зависимость намагниченности магнитной жидкости от температуры дает перспективную возможность использования ее в качестве рабочей среды различных тепловых машин: преобразователей энергии, насосов и просто теплообменных устройств [1]. Преимуществом теплообменных устройств, использующих магнитную жидкость в качестве теплоносителя, является отсутствие каких бы то ни было движущихся механических частей, необходимых для приведения жидкости в движение в обычных теплообменных системах. Движение магнитной жидкости обусловлено разницей температур и неоднородным магнитным полем, которое может быть создано системой постоянных магнитов. Направление и характер течения магнитного теплоносителя определяется конфигурацией магнитной системы. Таким образом, термомагнитная конвекция легко управляема. Кроме того, она гораздо интенсивнее гравитационной, что дает ей важное преимущество перед последней [2].

Интенсивность термомагнитной конвекции, а следовательно, эффективность теплообменных устройств с магнитной жидкостью определяется при прочих равных условиях величиной пиромагнитного коэффициента магнитной жидкости $K = |dM/dT|$, т. е. степенью зависимости намагниченности жидкости от температуры. Намагниченность магнитной жидкости достаточно хорошо описывается формулой Ланже-вена

$$M = \varphi_m m(\operatorname{cth} \xi - 1/\xi), \quad \xi = mVH/kT, \quad (1)$$

где φ_m — объемная концентрация магнитной фазы, m — намагниченность дисперсного вещества, V — средний объем магнитной частицы, H — напряженность магнитного поля, k — постоянная Больцмана, T — абсолютная температура.

Дифференцируя намагниченность по температуре, получим, что пиromагнитный коэффициент представляет собой сумму трех членов

$$K = \beta M + (\partial M / \partial m) |dm/dT| + |\partial M / \partial T|, \quad \beta = -(1/\rho)(d\rho/dT), \quad (2)$$

каждый из которых соответствует определенному механизму изменения намагниченности с температурой. Во-первых, это тепловое расширение жидкости и, как следствие, изменение объемной концентрации магнитных частиц. Во-вторых, это изменение величины магнитного момента магнитной частицы. Главным образом оно происходит из-за изменения с температурой намагниченности насыщения магнитного материала частицы. Изменением объема частицы вследствие теплового расширения можно, во-видимому, пренебречь из-за малости коэффициента объемного расширения твердых веществ по сравнению с жидкими. В-третьих, происходит изменение направления магнитного момента данной магнитной частицы вследствие разупорядочивающего теплового движения окружающих частицу молекул жидкости-носителя.

В достаточно сильных магнитных полях, когда намагниченность жидкости близка к насыщению, выражение для пиromагнитного коэффициента сводится к следующему:

$$K = M(\beta + \beta_m), \quad \beta_m = -(1/m)(dm/dT). \quad (3)$$

Таким образом, задача увеличения пиromагнитного коэффициента магнитной жидкости сводится (для одних и тех же значений β и φ_m , т. е. для одной и той же жидкости-носителя и одинаковой концентрации магнитной фазы) к подбору такого дисперсного материала, который в требуемом интервале температур давал бы для данной жидкости максимальное значение суммы $\beta m + |dm/dT|$. Следовательно, подбор дисперсного материала зависит и от жидкости-носителя. Как видно из последней формулы, для жидкостей с большим коэффициентом теплового расширения большую роль играет величина намагниченности дисперсного материала. Для жидкостей с малым коэффициентом объемного расширения более значительную роль играет величина $|dm/dT|$.

В малых полях, когда можно принять линейный закон намагничивания, выражение для пиromагнитного коэффициента принимает вид

$$K = M(1/T + \beta + 2\beta_m). \quad (4)$$

Таким образом, вклад дисперсного материала в пиromагнитный коэффициент магнитной жидкости становится еще более существенным.

Наиболее распространенным магнитным материалом, использующимся для получения магнитных жидкостей, является магнетит. Обладая достаточно высокой намагниченностью насыщения ($M_s \approx 500$ Гс), он, однако, имеет достаточно низкий пиromагнитный коэффициент в температурном интервале существования большинства жидкостей, поскольку его точка Кюри ($T_c = 585^\circ\text{C}$) лежит гораздо выше данного интервала.

Поэтому необходимо было подобрать магнитный материал, точка Кюри которого лежала бы при значительно более низких температурах, а пиромагнитный коэффициент в области комнатных температур был бы максимален. Такими свойствами обладает целый ряд металлов, нитридов, оксидов. Для синтеза магнитных жидкостей с низкими точками Кюри были выбраны вещества, по природе аналогичные магнетиту и имеющие аналогичную, достаточно простую методику получения. Это смешанные Me-Zn ферриты типа шпинелей $Me_xZn_{1-x}Fe_2O_4$, где Me-Mn, Ni, Co^[3]. Выбор этих ферритов был также обусловлен тем обстоятельством, что, варьируя соотношение исходных компонентов и условия получения, можно варьировать состав феррита и, следовательно, получать магнитные жидкости с различными точками Кюри и различными пиромагнитными коэффициентами.

С целью выбора магнитной жидкости, наиболее подходящей для использования в качестве теплоносителя, было синтезировано 20 образ-

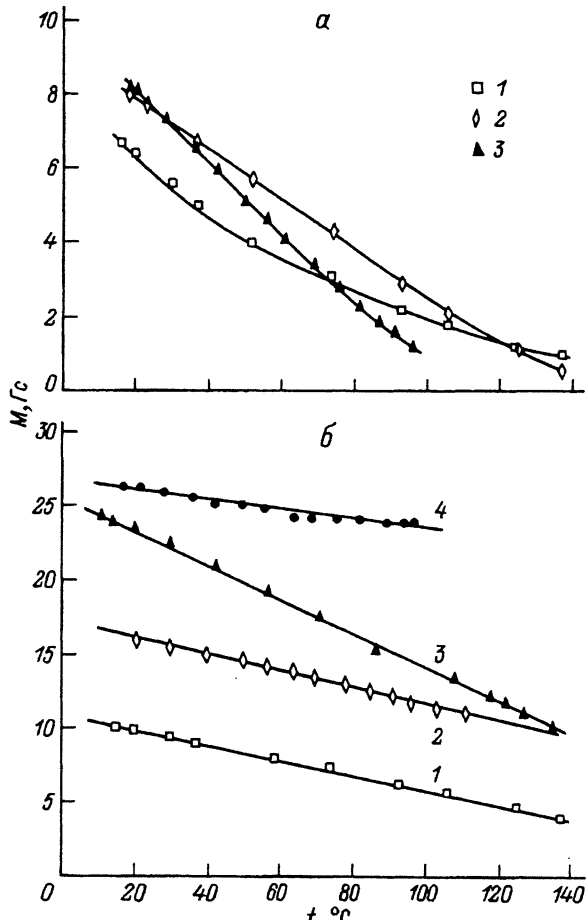


Рис. 1. Намагниченность магнитной жидкости от температуры.

Состав дисперсной фазы: а — $Mn_{0.5}Zn_{0.5}Fe_2O_4$ (1), $Ni_{0.5}Zn_{0.5}Fe_2O_4$ (2), $Co_{0.5}Zn_{0.5}Fe_2O_4$ (3); б — $Mn_{0.7}Zn_{0.3}Fe_2O_4$ (1), $Ni_{0.7}Zn_{0.3}Fe_2O_4$ (2), $Co_{0.7}Zn_{0.3}Fe_2O_4$ (3), Fe_3O_4 (4).

Таблица 1.

Состав дисперсной фазы	$\rho, \text{ г/см}^3$	$\beta_M \cdot 10^3, \text{ К}^{-1}$	$M, \text{ Гс}$	$\beta_m \cdot 10^3, \text{ К}^{-1}$
$\text{Mn}_{0.5}\text{Zn}_{0.5}\text{Fe}_2\text{O}_4$	1.12	15.2	6.5	6.9
$\text{Mn}_{0.7}\text{Zn}_{0.3}\text{Fe}_2\text{O}_4$	1.08	5.0	9.9	4.1
$\text{Ni}_{0.5}\text{Zn}_{0.5}\text{Fe}_2\text{O}_4$	1.07	8.2	7.8	2.9
$\text{Ni}_{0.7}\text{Zn}_{0.3}\text{Fe}_2\text{O}_4$	1.15	3.5	16.2	1.6
$\text{Co}_{0.5}\text{Zn}_{0.5}\text{Fe}_2\text{O}_4$	1.08	11.4	8.0	5.4
$\text{Co}_{0.7}\text{Zn}_{0.3}\text{Fe}_2\text{O}_4$	1.22	4.9	23.4	4.7
Fe_3O_4	1.14	1.2	26.1	0.55

цов магнитной жидкости различного состава. Ферриты получали методом осаждения с последующим кипячением. Полученные частицы магнитной фазы стабилизировали олеиновой кислотой, после чего их диспергировали в додекане. Подробно изучены и сопоставлены свойства шести образцов, представленных в табл. 1. Плотность измерена методом гидростатического взвешивания при температуре 20°C; плотность при более высоких температурах может быть определена с учетом коэффициента объемного расширения додекана. Намагниченность образцов магнитной жидкости в поле 1.75 кЭ измерялась вибрационным методом в интервале температур 20–150°C. В табл. 1 также представлены значения β_m , вычисленные из литературных данных для зависимости намагниченности насыщения соответствующего феррита от температуры [4,5]. Результаты измерений температурной зависимости намагниченности магнитной жидкости приведены на рис. 1.

Как отмечалось выше, относительный пиромагнитный коэффициент магнитной жидкости лежит в некоторых пределах, которые определяются тем, достигла ли намагниченность жидкости насыщения (3) или находится на линейном участке (4). Поэтому по величине пиромагнитного коэффициента можно судить о степени намагниченности жидкости в данном поле. Здесь необходимо отметить, что при измерении намагниченности в рассматриваемом методе не учитывается изменение намагниченности с температурой вследствие теплового расширения жидкости. Чтобы учесть это, необходимо умножить приводимые значения намагниченности (рис. 1) на дополнительный коэффициент $(1 - \beta(t - 20))$. Таким образом, при сравнении $\beta_M = K/M$ — относительного пиромагнитного коэффициента с его предельными значениями (3), (4) необходимо было из выражений (3), (4) опустить β , либо β_M из таблицы прибавить β .

Как видно из табл. 1, только жидкость, имеющая в качестве дисперсной фазы феррит $\text{Co}_{0.7}\text{Zn}_{0.3}\text{Fe}_2\text{O}_4$, достигает насыщения в данном поле. Пиромагнитные коэффициенты остальных жидкостей имеют промежуточные значения. Для жидкости, находящейся в насыщении, легко определить концентрацию магнитной фазы $\varphi_m = M_s/m$, зная намагниченность насыщения последней m . Определяя таким образом концентрацию по намагниченностям жидкости и феррита при определенной температуре, мы можем затем получить зависимость $m(T) = M(T)/\varphi_m$ до измеренной зависимости $M(T)$ и сравнить с из-

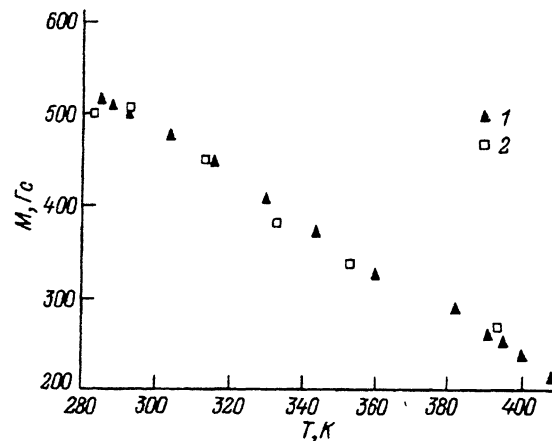


Рис. 2. Сопоставление данных для намагниченности феррифазы $\text{Co}_{0.7}\text{Zn}_{0.3}\text{Fe}_2\text{O}_4$, полученных из измерений намагниченности магнитной жидкости (1) и из литературы [4] (2).

вестной из литературы [4]. Рис. 2 демонстрирует достаточно хорошее совпадение во всем рассматриваемом интервале температур.

Для жидкостей, не достигших насыщения, можно, используя соотношение (2) и измеренное значение β_M , вычислить параметр Ланжевена ξ , поскольку β_M зависит только от этого параметра. Отсюда можно вычислить магнитный размер частиц d_m , затем, используя соотношение (1), определить намагниченность насыщения жидкости M_s и концентрацию магнитной фазы φ_m . В табл. 2 приведены вычисленные таким образом концентрации магнитной фазы, размер частиц, а также концентрации твердой фазы, вычисленные из плотности жидкости ρ и плотности жидкости-носителя ρ_0 :

$$\varphi = (\rho - \rho_0)/(\rho_f - \rho_0), \quad (5)$$

где ρ_f — плотность твердой фазы.

Используя значения концентраций твердой фазы и магнитного материала, можно оценить толщину немагнитного слоя твердой частицы

$$h = 0.5(d - d_m) = 0.5d_m \left(\sqrt[3]{\varphi/\varphi_m} - 1 \right). \quad (6)$$

Данная величина также представлена в табл. 2. В некоторой степени она характеризует качество магнитной жидкости. Как видно из та-

Таблица 2.

Состав дисперсной фазы	φ_m	$d_m, \text{\AA}$	φ	$h, \text{\AA}$
$\text{Mn}_{0.5}\text{Zn}_{0.5}\text{Fe}_2\text{O}_4$	0.058	60	0.083	4
$\text{Mn}_{0.7}\text{Zn}_{0.3}\text{Fe}_2\text{O}_4$	0.029	105	0.073	19
$\text{Ni}_{0.5}\text{Zn}_{0.5}\text{Fe}_2\text{O}_4$	0.054	50	0.070	2
$\text{Ni}_{0.7}\text{Zn}_{0.3}\text{Fe}_2\text{O}_4$	0.062	75	0.088	5
$\text{Co}_{0.5}\text{Zn}_{0.5}\text{Fe}_2\text{O}_4$	0.039	60	0.072	7
$\text{Co}_{0.7}\text{Zn}_{0.3}\text{Fe}_2\text{O}_4$	0.047		0.103	
Fe_3O_4	0.063	85	0.087	5

блицы, толщина немагнитного слоя для большинства изученных образцов колеблется с небольшими отклонениями вблизи соответствующего значения для магнетитовой магнитной жидкости. Только жидкость с ферритом $Mn_{0.7}Zn_{0.3}Fe_3O_4$ в качестве дисперсной фазы выпадает из этого ряда, имея достаточно большую толщину немагнитного слоя. Это говорит о слишком высоком содержании немагнитной примеси в данном образце.

Таким образом, рассмотренные магнитные жидкости на смешанных $Me-Xn$ ферритах являются гораздо более температурочувствительными, чем традиционная магнетитовая магнитная жидкость. Это свойство может быть использовано в различных применениях, одним из которых является использование магнитной жидкости в качестве геплоносителя. Выбор состава магнитной фазы и жидкости-носителя определяется конкретными условиями применения жидкости.

Список литературы

- [1] Розенцвейг Р. Феррогидродинамика. М.: Мир, 1989. 356 с.
 - [2] Блум Э.Я., Майоров М.М., Цеберс А.О. Магнитные жидкости. Рига: Зинатне, 1989. 386 с.
 - [3] Иванов О.И., Самородов И.Б., Бугославский Ю.В. и др. Ферромагнитная жидкость. А.с. № 1570543.
 - [4] Таблицы физических величин. Справочник / Под ред. И.К.Кикоина. М., 1976. 1008 с.
 - [5] Смит Я., Вейн Х. Ферриты. М., 1962. 504 с.
-